불확실성으로 유도된 Sparse Sampling Attention 을 활용 한 UDAformer 의 수중 이미지 향상 성능 개선

김민성¹, 김태현²
¹한양대학교 AI 응용학과 석사과정
²한양대학교 컴퓨터소프트웨어학부 교수

idecotu@naver.com, taehyunkim@hanyang.ac.kr

Boosting UDA former for Underwater Image Enhancement via Uncertainty Guided Sparse Sampling Attention

Min-Seong Kim¹, Tae-Hyun Kim²

¹Dept. of Artificial Intelligence Application, Hanyang University

²Dept. of Computer Science, Hanyang University

요 약

본 논문은 UDAformer[1] 기반 수중 이미지 향상(Underwater Image Enhancement, UIE)에 불확실성기반 랭킹에서 유도된 Sparse Sampling Attention Pre Adapter(SSA)를 삽입하여 성능을 높이는 방법을 제안한다. UDAformer[1]의 원래 구조는 변경하지 않고, Encoder-1/Decoder-1/Encoder-2/Decoder-2 진입부에 불확실성을 얕은 잔차 형태로 주입하는 pre-adapter 를 추가하여 입력의 특징을 정제하였다. 불확실성 랭킹 σ는 1*1 convnet 인 U-Head 로 추정하고 학습 과정에서 Uncertainty Driven Loss(UDL)[2]에의해 학습되어 이미지에서 개선이 어려워지는 지점들에 연산을 집중시킨다. 본 논문에서 제시한 구조로 UIEB-890[3] 데이터셋을 train = 800/test = 90으로 분할한 뒤, 500 epoch로 학습한 결과, 베이스라인(UDAformer[1]) PSNR 23.48dB/SSIM 0.92 대비, PSNR 24.1713dB/SSIM 0.9237 로 각각 + 0.6913dB/+ 0.0037의 성능 향상을 달성하였다. 또한 Encoder1의 불확실성 랭킹인 σ에서 높은 값을 가진 부분들이 Decoder1에서 실제 보정량의 증가로 이어짐을 시각적으로 확인할 수 있었다.

1. 서론

수중 이미지는 매체의 산란(scattering)과 흡수 (absorption)로 인해 대비 저하, 색 왜곡, 탁도 증가가 동반되며, 이는 수중 데이터에 대한 인식·탐지 성능의 저하로 이어진다. 최근 Transformer 계열 복원 모델은 전역 속성을 활용해 품질을 개선했으나, 연산이 전역 에 균일 분배되고 난이도(복원 불확실성)에 따른 선택 집중이 부족하다는 한계가 있다. UDAformer[1]는 DATB(Dual Attention Transformer Block, DATB)/CSAT(Channel Self-Attention Transformer, CSAT) 블록을 조합하여 수중 이미지를 향상하는데 강점을 보이지만, 입력 조건의 변화나 지역적으로 어려운 경 우에는(부유물, 조도 급변 등)에 대해서는 불필요한 연산 낭비나 혹은 과보정/미보정이 발생할 수 있다. 본 연구는 UDAformer[1]의 블록을 변경하지 않고, 각 스테이지 진입부에 불확실성 맵 σ으로 가이드 되 는 Sparse Sampling Attention pre-adapter 를 삽입하는 방 법을 제안한다. 제안 모듈은 DATB/CSAT 구조 앞에서 입력 특징을 가볍게 정제하며, U-Head 가 추정한 불확

실성 맵을 UDR(Uncertainty Driven Ranking) 기반 attention에 주입해 어려운 영역 중심의 계산을 유도한다. 동작 개요는 그림 1 에, 수식적 정의와 기호 설명은 식 (1) 및 3 장에서 제시한다.

불확실성 학습은 안정성과 해석 가능성을 함께 제공한다. 우리는 학습 단계에서 불확실성 맵을 UDL 로감독하여 난이도가 높은 위치에서 값이 커지도록 유도하고, 추론 단계에서는 이 맵이 SSA 의 가이드로작동해 연산을 어려운 영역에 집중시키도록 한다.

본 연구의 기여는 다음과 같다.

- Pre-Adapter 설계: UDAformer[1]의 DATB/CSAT 는 그대로 유지한 채, Encoder/Decoder L1·L2 진입부 앞에 불확실성 유도 Sparse Sampling Attention 을 삽입하여 안정성·호환성을 확보하 였다.
- 2. 불확실성 직접 감독(UDL): U-Head 가 예측한 σ를 UDL[2]로 학습해 어려운 영역에 대한 가이드를 명시화하고, 추론 시에도 유효한 집중효과를 제공한다.

3. 정량·정성 검증: UIEB-890[3]을 train=800/test=90 으로 분할, 500 epoch 학습에서 베이스라인 (UDAformer[1]) PSNR 23.48dB/SSIM 0.9200 대비, 본 논문의 제안방법은 PSNR 24.1713dB/SSIM 0.9237 로 +0.6913dB/+0.0037 의 성능향상을 달성하였다. 또한 시각적인 결과물을 통해서 불확실성이 추가된 이미지와 이로 인해 해당 영역의 보정량이 증가함을 시각화 하여 확인하였다.

2. 관련 연구

2.1 수중 이미지 향상(UIE)과 UDAformer

수중 이미지 향상은 산란 · 흡수로 인한 대비 저하/ 색 왜곡을 복원하는 문제로, 물리식에 기반한 복원부 터 최근의 딥러닝 기반 접근까지 폭넓게 연구되었다. UDAformer[1]는 DATB(Dual Attention Transformer Block) 속에 CSAT(Channel Self-Attention Transformer)와 SW-PSAT(Shifted Window Pixel Self-Attention Transformer)를 결합하여 채널 문맥을 파악하면서 Shifted Window 를 통해 전역 정보를 동시에 활용하는 구조로, 다양한 수중 조건에서 안정적 성능을 보여주었다. 다만 연산 이 전역적으로 균일하게 분배된다는 특성 때문에, 어 려운 영역(부유물, 급격한 조도 변화 등)에 집중적으 로 자원을 배분하는 것에는 한계가 있다. 본 논문은 이 한계를 보완하기 위해, 원 구조(DATB/CSAT)는 보 존하되 각 블럭의 앞 부분에 불확실성-유도 Sparse Sampling Attention Pre-Adapter(SSA-UDR)을 삽입하는 방법을 제안하고자 한다.

2.2 이미지 복원을 위한 Transformer

최근 Transformer 계열 복원 모델은 전역 문맥 모델 링과 윈도우 주의로 뛰어난 성능을 보여왔다. IPT[5]는 다양한 low-level 과제들을 아우르는 초기 Transformer 기반 복원 모델이고, SwinIR[6]은 shifted window 구조 로 Super Resolution/Denoising/JPEG 복원에서 강력한 성능을 보였다. Uformer[7]는 U-shape 와 local window attention 을 결합해 효율과 성능의 균형을 잡았고, Restormer[8]는 channel attention 강화로 고해상도 복원 에 특화되었다. 이러한 모델들은 주로 균일한 attention 전개를 가정하며, 난이도에 따른 선택적 계 산이나 불확실성과의 직접적인 결합은 상대적으로 부 족하다. 본 논문은 이 지점을 파고들어, σ(불확실성) 를 SSA+UDR 모듈에 주입하여 어려운 영역 중심의 Sparse Attention 을 실현한다.

2.3 불확실성(σ) 모델링과 UDL

딥러닝 복원에서의 불확실성 모델링은 음의 로그우 $\Sigma(Negative\ Log-Likelihood)$ 형태의 손실로 σ 를 직접 학습하는 방식이 일반적이다[2]. 본 연구에서도 이를 UDL(Uncertainty-Driven\ Loss)로 채택하여, 오차가 큰 픽셀에서 σ 가 커지도록 σ 를 직접 감독한다. 이렇게 학습된 σ 는 추론 단계에서도 SSA+UDR 의 가이드 신

호로 재사용된다. 결과적으로 σ 는 해석 가능성과 연산 집중을 동시에 제공한다.

2.4 Sparse Sampling Attention 과 불확실성 기반 랭킹

복원에서의 SSA 는 중요 영역에 계산을 집중시켜 효율을 높이는 방향으로 발전해 왔다. UDR-S2Former[4]는 UDR 을 사용하여 토큰 선택 및 attention 을 유도해 희소 샘플링을 구현했고, Deraining 과제에서 효과를 보였다. 본 연구는 UDR 의 핵심 아이디어를 UIE 도메인에 pre-adapter 형태로 이식하되, 원 블록(DATB/CSAT)을 대체하지 않고 앞 부분에 얕게 결합한다는 점에서 구조적 차별성을 갖는다. 또한 σ를 UDL[2]로 직접 감독하여, 추론 시에도 어려운 영역에 대한 attention 이 유지되도록 설계하였다.

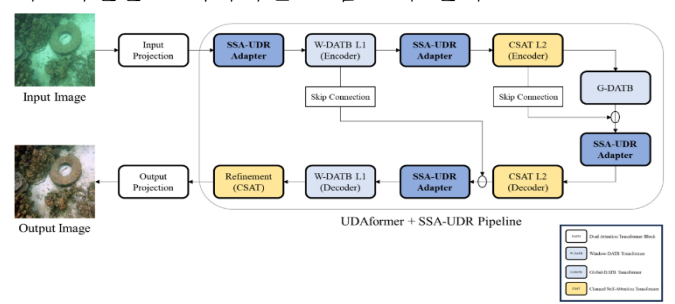
3. 제안 방법

3.1 전체 파이프라인 개요

본 연구의 핵심은 UDAformer[1]의 원 구조 (DATB/CSAT)를 보존하면서 각 스테이지 진입부에 SSA-UDR 로 얻은 불확실성을 얕은 잔차(residual) 형 태로 삽입하는 것이다. 입력 특징 x에 대해, preadapter 는 U-Head 가 추정한 불확실성 맵 σ 를 UDR(Uncertainty-Driven Ranking)기반 Sparse Sampling Attention 에 주입해 어려운 영역 중심의 보정 y를 산출하고, 이를 스칼라 계수 α 로 축소해 원 특징에 더한다:

$$x_{pre} = x + \alpha \cdot UDR(x, \sigma) \quad (1)$$

여기서 $x \in \mathbb{R}^{B*C*H*W}$ 는 스테이지 첫 블록으로 입력되는 특징이고, x_{pre} 는 pre-adapter 출력을 잔차 형태로합성한 특징이다. $\alpha > 0$ 는 pre-adapter 출력을 주입하는 잔차 계수이며, $\sigma \in \mathbb{R}^{B*1*H*W}$ 는 U-Head 가 예측하는 불확실성 맵이다. $UDR(\cdot)$ 은 σ 를 가이드로 사용하는 sparse attention 모듈로, 난이도가 높은 위치에 더 큰보정이 이루어지도록 동작한다. 여기서 B는 배치 크기, C는 채널 수, H,W는 공간 해상도를 의미한다." 이렇게 얻은 x_{pre} 가 각 스테이지의 첫 DATB/CSAT 블록에 입력된다. α 는 작게 설정하여 원 경로의 표현을보존하면서 제한적으로 개입하도록 하였다. 전체 파이프라인을 도식화하면 그림 1 과 같다.



(그림 1) UDAformer[1] + SSA-UDR 파이프라인

3.2 SSA-UDR Pre-Adapter

U-HEAD (Uncertainty Head)

U-Head 는 1×1 컨볼루션 스택으로 구성된 경량 모듈로, 입력 $x\in\mathbb{R}^{B*C*H*W}$ 에서 불확실성 맵 $\sigma\in\mathbb{R}^{B*1*H*W}$ 을 추정한다. 마지막 활성 함수는 Softplus를 사용해 $\sigma>0$ 을 보장한다.

UDR 기반 Sparse Sampling Attention

UDR 모듈은 윈도우 크기 $W_s = 8$ 인 윈도우 기반 self-attention 내부에서 σ 를 토큰 선택 및 가중의 가이드로 사용한다. 구체적으로, 각 윈도우에서 불확실성 랭킹, 즉 σ 큰 순으로 상위 토큰에 주의를 더 강하게 배분하거나 후보를 희소화 하여, 어려운 영역에 주의를 집중시킨다.

잔차 주입(Residual injection)

UDR 출력 $y = UDR(x,\sigma)$ 는 스칼라 α 로 스케일링되어 x에 더해진다(식 (1)). α 는 학습하지 않고 고정하며, 스테이지 및 해상도에 따라 소폭 차등 설정하여 안정성을 확보한다. 본 실험에서는 $L1 \alpha = 0.025, L2 \alpha = 0.0175$ 로 설정하였다. 이를 통해 기존 UDAformer[1] 경로는 그대로 유지되고, pre-adapter 는 입력 정제를 위한 전처리용으로 동작한다.

3.3 손실 함수

최종 손실은 복원 손실 과 UDL의 합으로 구성한다. $\mathcal{L} = \left\| I_{pred} - I_{gt} \right\|_{2}^{2} + \lambda_{u}^{(L1)} \mathcal{L}_{UDL}^{(L1)} + \lambda_{u}^{(L2)} \mathcal{L}_{UDL}^{(L2)} \quad (2)$

 I_{pred} 는 네트워크의 복원 결과 영상이고 I_{gt} 는 정답 영상이다. $\lambda_u^{(L1)}$ 과 $\lambda_u^{(L2)}$ 는 각각 L1 스테이지와 L2 스테이지에서의 불확실성 손실 가중치이며, $\mathcal{L}_{UDL}^{(L1)}$ 과 $\mathcal{L}_{UDL}^{(L2)}$ 은 각 스테이지의 불확실성 맵을 사용해 계산한 UDL 항을 뜻한다. 본 실험에서는 $\lambda_u^{(L1)}=0.30$, $\lambda_u^{(L2)}=0.21$ 을 사용하였다.

UDL 은 아래와 같이 정의한다.

$$\mathcal{L}_{UDL} = \frac{1}{2}e^{-s}err^2 + \frac{1}{2}s, err = I_{pred} - I_{gt} \quad (3)$$

 $s = \log \sigma^2$ 로 예측변수이고 $err = I_{pred} - I_{gt}$ 는 복원 오차이다. σ 는 양수이며, 오차가 큰 위치에서 σ 가 증가하도록 학습되기 때문에 불확실성 맵은 어려운 영역을 지칭하도록 정렬된다. 이렇게 정렬된 σ 는 추론 단계에서 UDR 의 토큰 선택과 가중을 이끌어 난이도가 높은 영역에 주의를 집중시키는 역할을 한다.

3.4 스테이지 구성 및 구현 세부

Pre-adapter 는 Encoder/Decoder L1 · L2 에 배치한다. L1 은 다운샘플 이전(Enc1)과 업샘플 직후(Dec1)의 고해상도 특징을 다루므로 작은 α 로도 효과가 나타난다. L2는 skip-connection 합류 지점(CSAT/G-DATB) 직전/직후에 두어, 전역 문맥과 상호작용하기 전에 어려운

영역 정제를 선행한다. 학습은 500 epoch 로 진행하며, 추론 시에도 학습과 동일하게 σ 를 UDR 에 주입하고 추가 테스트-타임 튜닝은 적용하지 않는다.

4. 실험

4.1 데이터

UIEB-890[3] 데이터셋을 train = 800/test = 90 으로 나누어 학습 및 검증에 사용하였다. UDAformer[1]의 저자가 공개한 train/test 목록과 동일하게 설정하였고 batch = 4, epoch = 500 을 사용하였다.

4.2 평가 지표 및 비교 대상

정량 지표로 PSNR 과 SSIM 을 사용하였다. 비교 대 상은 원 구조를 변경하지 않은 UDAformer (Baseline)[1] 와, 본 논문에서 제안하는 UDAformer + SSA-UDR 이다. 두 방법은 동일한 데이터 분할, 학습 스케줄, 평가 프 로토콜을 공유한다.

Methods	Test-UIEB890		
	PSNR ↑	SSIM ↑	
Water-Net[3]	20.28	0.85	
Ucolor[9]	21.29	0.88	
U-shape[10]	20.77	0.83	
UDAformer[1]	23.48	0.92	
Ours	24.1713	0.9237	

<표 1> 기존 UIE 방법들과 성능 비교

4.3 실험 결과

정량 비교 결과는 표 1 을 통해 요약하여 제시하였다. UDAformer(Baseline)[1]는 PSNR 23.48dB/SSIM 0.92를 기록하였고, 본 논문의 제안법은 PSNR 24.1713dB/SSIM 0.9237을 달성하였다. 이는 기존 대비 +0.6913dB/+0.0037로 유의미하게 향상되었다는 것을확인하였다.

M-41 1-	Test-UIEB890	
Methods	PSNR ↑	SSIM ↑
Replace: SW-PSAT → SSA-UDR	21.2743	0.8727
Ours w/o UDL	23.9141	0.9230
Ours	24.1713	0.9237

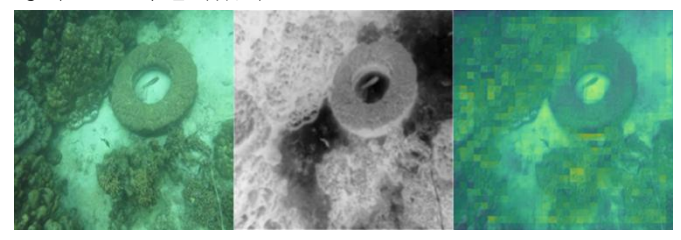
<亞 2> Ablation study on UIEB-Test

표 2 는 본 논문의 제거 연구 결과를 보여준다. UDAformer[1] DATB 의 두 Transformer 중 SW-PSAT 을 SSA-UDR 로 교체한 Replace 의 경우는 기존 모델의 성능보다 오히려 낮게 나왔다. 본 논문의 제안법에서 UDL 을 비활성화하면 제안법의 성능보다 수치가 떨어지는 결과를 얻었다.



(그림 2) 원본 수중 이미지(좌) 이미지 향상 결과(우)

그림 2 는 수중 이미지가 입력되었을 때 논문의 제 안법에 따라 이미지를 향상한 결과이다. 채도 편차 완화, 명암 대비 회복, 디테일 선명도가 많이 개선된 것을 확인할 수 있다. 특히 배경 대비가 약한 영역이 나 녹색/청색 캐스트가 심한 영역에서 색 균형이 안 정적으로 복원되었다.



(그림 3) 원본(좌) 불확실성 맵(중앙) SSA-UDR 시각화(우)

4.5 불확실성 유도와 보정 집중에 대한 해석

그림 3 은 원본과 함께 불확실성 맵(σ), 그리고 SSA-UDR 보정 히트맵(Δ) 오버레이를 제시한다. σ는 U-Head 가 예측한 위치별 복원 난이도를 나타내며 흰부분이 높은 값으로 표현된다. Δ는 모델 파이프라인을 거쳐 최종 Decoder L1 단계에서 SSA-UDR 이 실제로 가한 보정의 크기를 공간적으로 나타낸다. 시각화결과, σ가 높은 영역에서 Δ가 함께 증가하는 경향이뚜렷하게 관찰되며, 이는 학습 단계에서의 불확실성감독(UDL)과 추론 단계에서의 SSA-UDR 이 동일한 공간적 초점을 공유한다는 것을 뒷받침한다. 다시 말해, 본 논문의 제안법은 어려운 영역에 보정을 가하여 attention 을 선별적으로 배분하도록 설계·학습되었고, 실제 복원 과정에서도 그 의도가 구현된다.

5. 결론 및 향후과제

본 논문은 UDAformer[1]의 원 구조(DATB/CSAT)를 변경하지 않고, 각 스테이지 앞 부분(Encoder/Decoder L1·L2)에 불확실성(σ)으로 유도된 SSA-UDR Pre-Adapter 를 잔차(α)로 삽입하는 간단하면서도 효과적인 방법을 제안하였다. σ 는 경량 U-Head 로 예측되고 UDL[2]로 직접 감독되어, 추론 단계에서 어려운 영역 중심의 sparse sampling attention 을 자연스럽게 유도할 수 있다. UIEB-890[3]에서 500 epoch 학습 결과, UDAformer[1] 대비 PSNR +0.6913dB/SSIM +0.0037 의 향상을 확인했으며, σ - Δ 시각화로 불확실성 고영역이실제 보정 증가로 이어진다는 것을 확인하였다.

향후에는 LSUI(Large Scale Underwater Image Dataset) [10], Seathru[11]와 같은 다중 데이터셋으로 확장하고 멀티 스케일에서의 개별 σ 측정, 학습 데이터에 따른 적응형 $\alpha \cdot \lambda_u$ 를 도입하여 성능과 효율을 끌어올릴 계획이다.

참고문헌

- [1] Z. Shen et al., "UDAformer: Underwater image enhancement based on dual attention transformer," *Computers & Graphics*, 111(C), pp. 77–88, 2023.
- [2] A. Kendall and Y. Gal, "What Uncertainties Do We Need in Bayesian Deep Learning for Computer Vision?," in NeurIPS, Long Beach, USA, 2017.
- [3] C. Li et al., "An Underwater Image Enhancement Benchmark Dataset and Beyond," IEEE Trans. Image Process., 29, 2020.
- [4] S. Chen et al., "Sparse Sampling Transformer with Uncertainty-Driven Ranking for Unified Removal of Raindrops and Rain Streaks," in ICCV, Paris, France, 2023.
- [5] H. Chen et al., "Pre-Trained Image Processing Transformer," in CVPR, Nashville, USA, 2021, pp. 12299–12310.
- [6] J. Liang et al., "SwinIR: Image Restoration Using Swin Transformer," in ICCV, Montreal, Canada, 2021, pp. 1833–1844.
- [7] Z. Wang et al., "Uformer: A General U-Shaped Transformer for Image Restoration," in CVPR, New Orleans, USA, 2022.
- [8] S. W. Zamir et al., "Restormer: Efficient Transformer for High-Resolution Image Restoration," in CVPR (Oral), New Orleans, USA, 2022.
- [9] C. Li et al., "Underwater Image Enhancement via Medium Transmission-Guided Multi-Color Space Embedding," IEEE Trans. Image Process., 30, pp. 4985–5000, 2021.
- [10] L. Peng et al., "U-shape Transformer for Underwater Image Enhancement," IEEE Trans. Image Process., 32, pp. 3066–3079, 2023.
- [11] D. Akkaynak and T. Treibitz, "Sea-Thru: A Method for Removing Water From Underwater Images," in CVPR, Long Beach, USA, 2019.